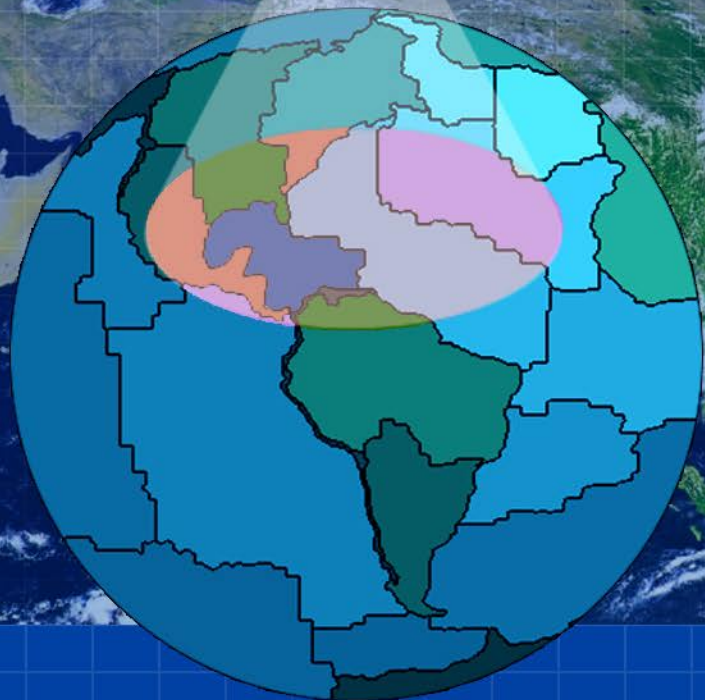




انتشارات دانشگاه اصفهان

شیء‌گرایی در پردازش تصاویر سنجش لیزری



مهدی مومنی
ایمان خسروی
بهنوش مستأجران

گروه مهندسی نقشه برداری
دانشگاه اصفهان

الله الرحمن الرحيم

پیشگر:

هر کوئه استفاده از یا استناد به تن، تصویر، جدول یا هر مطلبی از این کتاب در مقالات، پژوهشها، پایان نامه ها، ارائه های کلاسی یا غیرکلاسی و یا هر محفل علمی بدون ذکر منبع، ممنوع و خلاف اصول اخلاقی پژوهشی است.

شیءگرایی در پردازش تصاویر سنجش از دور

مؤلفان

مهردی مؤمنی

ایمان خسروی

بهنوش مستأجران

گروه مهندسی نقشهبرداری

دانشکده فنی و مهندسی

دانشگاه اصفهان

۱۳۹۲

به نام خداوند جان و خرد
کزین برتر اندیشه برنگذرد

پیشگفتار

بیش از چهار دهه است که سنجش از دور به عنوان یکی از بهترین روش‌های تهیه‌ی اطلاعات زمینی معرفی شده و داده‌های آن تحول بزرگی در شناخت انسان از زمین ایجاد کرده است. در این میان داده‌هایی که قدرت‌تفکیک مکانی بالایی دارند در پانزده سال گذشته اهمیت ویژه‌ای یافته و چشم‌انداز وسیعی برای تهیه‌ی نقشه‌های شهری پیش روی محققان قرار داده‌اند. هرچند پژوهش‌های بسیاری در این حوزه از سنجش از دور انجام گرفته است هنوز بسیاری از مسایل حل نشده و ویژگی‌های نقشه‌های شهری با اتکاء به این داده‌ها تامین نشده است و آنچه از روش‌های پردازش تصاویر ماهواره‌ای حاصل می‌شود هنوز با ادراک انسانی درباره‌ی عوارض نقشه‌های شهری فاصله دارد.

روش‌های پردازش تصاویر ماهواره‌ای برای تصاویر قدرت‌تفکیک بالا از سال ۱۹۹۹ میلادی به سمت شیء‌گرایی متمایل شدند. مدلسازی شیء‌گرا با توجه به نزدیکی به ادراک انسانی راه حل‌هایی را در پردازش این تصاویر و تهیه‌ی لایه‌های نقشه‌های شهری نوید می‌دهد. براین اساس، سال‌های اخیر دوران توسعه‌ی روش‌های شیء‌گرا برای پردازش تصاویر قدرت‌تفکیک بالای ماهواره‌ای بوده است؛ اما مدلسازی شیء‌گرا ظرافت‌ها و مهارت‌های خاصی را طلب می‌کند که در این حوزه کمتر به آن توجه شده است. برای مثال درباره‌ی استخراج شیء‌گرای ساختمان‌ها از تصاویر

ماهواره‌ای تحقیقات زیادی انجام گرفته است؛ با این وجود تنها ایده‌ی مدلسازی شیء‌گرا در همه‌ی این تحقیقات، ایده‌ی استفاده از قطعه‌بندی برای تولید اشیای تصویری بوده است.

کتاب حاضر با دو هدف مشخص تنظیم و تأليف شده است: هدف اول آموزش مفاهیم پایه در پردازش شیء‌گرای تصاویر سنجش از دور است که در فصل‌های اول، دوم و سوم دنبال می‌شود و هدف دوم پیشنهاد ایده‌هایی جدید در حوزه‌ی پردازش شیء‌گرای تصاویر است که نگاهی نو به مدلسازی شیء‌گرای عوارض تصویر دارد. این ایده‌ها شامل تعریف و مدلسازی خط و نقطه در کنار سطح به عنوان شیء تصویری می‌شود که با پیاده‌سازی و کنترل کیفیت از ایده به روش‌های مؤثر تبدیل می‌شود. هدف دوم در فصل‌های چهارم، پنجم و ششم دنبال می‌شود.

سه فصل اول این کتاب برای دروس فتوگرامتری رقومی، مبانی سنجش از دور و سنجش از دور کاربردی در دوره‌ی کارشناسی مهندسی نقشه‌برداری قابل استفاده است. فصل‌های یاد شده همچنین برای درس کاربردهای سنجش از دور در کارشناسی ارشد مهندسی سنجش از دور، مهندسی فتوگرامتری و مهندسی سیستم‌های اطلاعات مکانی به همراه پژوهش‌های پژوهشی راهگشا خواهد بود. در فصل‌های چهارم تا ششم نیز مباحثی در سطح عالی مطرح می‌شود که برای دانشجویان تحصیلات تکمیلی مناسب است. ایده‌های تازه‌ای که در این سه فصل ارائه شده، می‌تواند موضوع چندین پژوهش مستقل قرار گیرد.

موضوع این کتاب، مرتبط با پایان‌نامه‌های کارشناسی ارشد مهندس ایمان خسروی و مهندس بهنوش مستأجران است که در گروه مهندسی نقشه‌برداری دانشگاه اصفهان نوشته شده است. حاصل پژوهش‌های ایشان نه تنها در قالب پایان‌نامه و این کتاب بلکه در چندین مقاله‌ی پژوهشی منتشر گردیده است. برخی از ایده‌های این کتاب در

طی شانزده سال گذشته در ذهن این جانب شکل گرفته بود اما شجاعت و پشتکار ایشان به آنها شکل عینی و قابل ارائه بخشد. با این وجود، این کتاب را به هیچ وجه کامل یا کافی نمی دانیم و از خوانندگان محترم خواهشمندیم با رهنمودهای ارزشمند خود ما را در اصلاح کاستی های آن یاری فرمایند.

از مسئولان محترم اداره انتشارات دانشگاه اصفهان به ویژه جناب آقای دکتر حجت الله یزدان پناه و جناب آقای دکتر محمدعلی نعمت بخش صمیمانه تشکر می کنیم. از نکات ارزشمندی که جناب آقای دکتر جلال امینی پیش از چاپ کتاب یاد آوری فرمودند بهره‌ی بسیاری بر دیدیم. همچنین از داوران محترم کتاب اگرچه نامشان بر ما پوشیده است سپاسگزاریم.

آن آفتاب خوبی چون بر زمین بتايد آن دم زمین خاکی بهتر ز آسمانست

مهدي مومني، ايمان خسروي، بهنوش مستاجران

گروه مهندسي نقشه برداري

دانشکده فني و مهندسي

دانشگاه اصفهان

نیمه شعبان ۱۴۳۴ برابر سوم تیرماه ۱۳۹۲

فهرست مطالب

یک.....	پیشگفتار
پنج.....	فهرست مطالب
سیزده.....	فهرست شکل‌ها
بیست و یک.....	فهرست جدول‌ها

فصل ۱. مقدمه

۲.....	۱- سنجش از دور و تصاویر قدرت‌تفکیک بالا
۳.....	۲- سطوح پردازش تصویر در سنجش از دور
۵.....	۱-۲-۱ پردازش‌های سطح پایین
۵.....	۱-۲-۲ پردازش‌های سطح میانی
۶.....	۱-۲-۳ پردازش‌های سطح بالا
۸.....	۱-۳ واحد پردازش: پیکسل یا شی
۹.....	۱-۳-۱ مشکلات روش‌های پیکسل‌مبنای
۱۰.....	۱-۳-۲ معرفی روش‌های شی‌مبنا
۱۱.....	۱-۳-۳ امتیازات روش‌های شی‌مبنا

فصل ۲. مفهوم شی، تصویری در سنجش از دور

۱۶.....	۱-۲ مقدمه
۱۶.....	۲-۱ مفهوم شی، تصویری
۱۶.....	۲-۲-۱ شی، تصویری از دید Navulur (۲۰۰۷)
۱۸.....	۲-۲-۲ شی، تصویری از دید Benz و همکاران (۲۰۰۴)

۱۹	۳-۲-۲ شیء تصویری از دید Castilla و Hay (۲۰۰۸)
۱۹	۴-۲-۲ شیء تصویری از دید Nixon و Aguado (۲۰۰۸)
۲۰	۳-۲ خصوصیات شیء تصویری
۲۲	۴-۲ تولید ویژگی برای شیء تصویری
۲۳	۱-۴-۲ ویژگی‌هایی برای بافت
۲۴	۱-۱-۴-۲ ویژگی‌های آماری مرتبه‌ی اول
۲۶	۲-۱-۴-۲ ویژگی‌های آماری مرتبه‌ی دوم-ماتریس همرخداد
۳۰	۲-۴-۲ ویژگی‌های شکل و اندازه
۳۲	۵-۲ تجزیه و تحلیل ویژگی‌ها
۳۳	۱-۵-۲ روش SEdATH
۳۸	۶-۲ قطعه به عنوان شیء تصویری
۴۴	۷-۲ نقدی بر قطعه‌بندی و پیشنهاد اشیای تصویری دیگر

فصل ۳. روند نرم‌افزارهای شیء‌مبنا

۵۰	۱-۳ مقدمه
۵۰	۲-۳ نرم‌افزار eCognition Developer
۵۰	۱-۲-۳ فن‌آوری شبکه‌ی شناخت
۵۱	۲-۲-۳ کاربردهای نرم‌افزار
۵۱	۳-۲-۳ مفاهیم کلیدی
۵۱	۱-۳-۲-۳ لایه‌ی تصویر
۵۲	۲-۳-۲-۳ مجموعه‌داده‌ی تصویر
۵۳	۳-۳-۲-۳ قطعه‌بندی و طبقه‌بندی
۵۴	۴-۳-۲-۳ اشیای تصویری، شبکه‌ی سلسله‌مراتبی و دامنه‌ها
۵۴	۱-۴-۳-۲-۳ اشیای تصویری

۵۴	سلسله مراتب اشیای تصویری	۲-۴-۳-۲-۳
۵۵	دامنه‌ی شیء تصویر	۳-۴-۳-۲-۳
۵۶	منظره‌ها، نقشه‌ها، فایل پروژه‌ها و فضاهای کاری	۵-۳-۲-۳
۵۶	منظرهای	۱-۵-۳-۲-۳
۵۷	نقشه‌ها و فایل پروژه	۲-۵-۳-۲-۳
۵۷	فضاهای کاری	۳-۵-۳-۲-۳
۵۸	eCognition ویژگی‌های شیئی استفاده شده در نرم‌افزار	۶-۳-۲-۳
۵۹	یک نمونه‌ی کاربردی با نرم‌افزار eCognition	۴-۲-۳
۶۰	تعریف پروژه eCognition	۱-۴-۲-۳
۶۵	قطعه‌بندی	۲-۴-۲-۳
۶۸	طبقه‌بندی	۳-۴-۲-۳
۶۸	قطعه‌بندی درشت‌مقیاس	۱-۳-۴-۲-۳
۷۸	قطعه‌بندی ریز‌مقیاس	۲-۳-۴-۲-۳
۸۵	پالایش و ویرایش دستی	۴-۴-۲-۳
۸۸	ENVI Zoom نرم‌افزار Feature Extraction	۳-۳ مازول
۸۸	ساختار مازول	۱-۳-۳
۹۰	اجرای نرم‌افزار ENVI Zoom و مازول	۲-۳-۳
۹۲	ENVI Feature Extraction	۳-۳-۳ دو نمونه‌ی کاربردی با مازول
۹۲	نمونه‌ی کاربردی اول	۱-۳-۳-۳
۹۵	باز کردن و نمایش تصویر	۱-۳-۳-۳-۳
۹۶	قطعه‌بندی تصویر	۲-۱-۳-۳-۳
۱۰۰	طبقه‌بندی قانون‌مبنای	۳-۱-۳-۳-۳
۱۰۳	ویژگی نسبت باندی نرمالیزه شده (bandratio)	۱-۳-۱-۳-۳-۳
۱۰۸	(rect_fit) ویژگی شکل	۲-۳-۱-۳-۳-۳

۱۱۱	۳-۳-۱-۳-۳-۳	ویژگی مساحت (area)
۱۱۲	۴-۳-۱-۳-۳-۳	ویژگی مقدار متوسط باند سبز (avgband_2)
۱۱۶	۴-۱-۳-۳-۳	ذخیره‌سازی نتایج طبقه‌بندی درون یک Shapefile
۱۱۹	۲-۳-۳-۳	نمونه‌ی کاربردی دوم
۱۲۰	۱-۲-۳-۳-۳	باز کردن و نمایش تصویر
۱۲۰	۲-۲-۳-۳-۳	قطعه‌بندی تصویر
۱۲۲	۳-۲-۳-۳-۳	طبقه‌بندی نظارت شده

فصل ۴. قطعه به عنوان شیء تصویری

۱۳۶	۱-۴	مقدمه
۱۳۸	۴	مطالعه‌ی کاربردی اول
۱۴۰	۴	۱-۲-۴ منطقه‌ی مطالعاتی و داده‌های مطالعه‌ی کاربردی اول
۱۴۱	۴	۲-۲-۴ روش‌شناسی مطالعه‌ی کاربردی اول
۱۴۱	۴	۱-۲-۲-۴ طبقه‌بندی پیکسل مینا
۱۴۲	۴	۱-۱-۲-۲-۴ طبقه‌بندی درخت تصمیم مبتنی بر طیف
۱۴۳	۴	۲-۱-۲-۲-۴ طبقه‌بندی درخت تصمیم با ترکیب ویژگی
۱۴۴	۴	۳-۱-۲-۲-۴ طبقه‌بندی بیشترین شباهت پیکسل مینا
۱۴۵	۴	۲-۲-۲-۴ طبقه‌بندی شیء مینا
۱۴۷	۴	۳-۲-۴ پیاده‌سازی و ارزیابی نتایج مطالعه‌ی کاربردی اول
۱۵۲	۴	۳-۴ مطالعه‌ی کاربردی دوم
۱۵۵	۴	۱-۳-۴ داده‌ی ورودی مطالعه‌ی کاربردی دوم
۱۵۵	۴	۲-۳-۴ روش‌شناسی مطالعه‌ی کاربردی دوم
۱۶۴	۴	۳-۳-۴ نتایج مطالعه‌ی کاربردی دوم

فصل ۵. لبه به عنوان شی، تصویری	
۱۷۰ ۱-۵ مقدمه	
۱۷۰ ۲-۵ استخراج ساختمان	
۱۷۲ ۳-۵ روش‌های شیء مبنای مبتنی بر قطعه‌بندی	
۱۷۲ ۱-۳-۵ روش اول: طبقه‌بندی شیء مبنا با استفاده از قطعه‌بندی مبتنی بر لبه	
۱۷۳ ۱-۳-۵-۱ قطعه‌بندی مبتنی بر لبه	
۱۷۵ ۲-۱-۳-۵ طبقه‌بندی نظارت شده	
۱۷۸ ۲-۳-۵ روش دوم: طبقه‌بندی شیء مبنا با قطعه‌بندی قدرت‌تفکیک چندگانه	
۱۷۸ ۱-۲-۳-۵-۱ قطعه‌بندی قدرت‌تفکیک چندگانه	
۱۷۸ ۱-۱-۲-۳-۵-۱ معیار همگنی	
۱۸۱ ۲-۲-۳-۵ طبقه‌بندی نظارت شده فازی	
۱۸۳ ۴-۵ روش شیء مبنای پیشنهادی	
۱۸۵ ۱-۴-۵ حذف نواحی غیرساختمانی	
۱۸۶ ۲-۴-۵ پیش‌پردازش‌های ریخت‌شناسی	
۱۸۷ ۳-۴-۵ تعریف لبه به عنوان شیء	
۱۸۸ ۴-۴-۵ تعریف ویژگی برای قطعات لبه‌ای	
۱۸۸ ۱-۴-۴-۵ تعریف قاعده برای ویژگی گردش‌گی	
۱۸۹ ۲-۴-۴-۵ تعریف قاعده برای ویژگی مساحت محصور	
۱۹۰ ۵-۵ تصاویر مطالعاتی	
۱۹۱ ۱-۵-۵ تنوع در تراکم مسطحاتی	
۱۹۱ ۲-۵-۵ تنوع در شکل و اندازه‌ی ساختمان‌ها	
۱۹۲ ۳-۵-۵ تنوع در رنگ بام ساختمان‌ها	
۱۹۳ ۴-۵-۵ تنوع در روشنایی ساختمان‌ها	
۱۹۴ ۵-۵-۵ چیدمان و فاصله‌ی بین ساختمان‌ها	

۱۹۵	۶-۵-۵ تنوع و درصد وجود پوشش گیاهی
۱۹۶	۶-۵ پیاده‌سازی و ارزیابی نتایج
۱۹۶	۷-۵ کنترل کیفیت
۱۹۹	۸-۵ مقایسه و ارزیابی دقت نتایج حاصل از هر سه روش شیء‌مینا
۲۰۰	۱-۸-۵ درصد شناسایی مرز ساختمان (DR)
۲۰۰	۱-۱-۸-۵ درصد شناسایی مرز ساختمان در ۱۲ تصویر گروه اول
۲۰۲	۲-۱-۸-۵ درصد شناسایی مرز ساختمان در ۳ تصویر گروه دوم
۲۰۳	۲-۸-۵ درصد اعتمادپذیری نتایج مرز ساختمان (R)
۲۰۳	۱-۲-۸-۵ درصد اعتمادپذیری نتایج مرز ساختمان در ۱۲ تصویر گروه اول
۲۰۵	۲-۲-۸-۵ درصد اعتمادپذیری نتایج مرز ساختمان در ۳ تصویر گروه دوم
۲۰۶	۳-۸-۵ درصد خطای اضافه شدگی مرز ساختمان (FPR)
۲۰۶	۱-۳-۸-۵ درصد خطای اضافه شدگی مرز ساختمان در ۱۲ تصویر گروه اول
۲۰۸	۲-۳-۸-۵ درصد خطای اضافه شدگی مرز ساختمان در ۳ تصویر گروه دوم
۲۰۹	۴-۸-۵ دقت کلی (OA)
۲۰۹	۹-۵ نتیجه‌گیری

فصل ۶. نقطه به عنوان شیء تصویری

۲۱۴	۱-۶ مقدمه
۲۱۴	۲-۶ مدل رقومی سطح و تناظریابی
۲۱۹	۱-۲-۶ مشکلات روش‌های تناظریابی
۲۲۲	۳-۶ روش‌های تناظریابی
۲۲۴	۱-۳-۶ روش‌های تناظریابی ناحیه‌مینا
۲۲۹	۲-۳-۶ روش‌های تناظریابی عارضه‌مینا
۲۳۱	۱-۲-۳-۶ روش SIFT

۲۳۲	۱-۱-۲-۳-۶ مرحله‌ی اول. استخراج عوارض.....
۲۳۲	۱-۱-۲-۳-۶ یافتن نقاط اکسترمم در فضای مقیاسی.....
۲۳۶	۲-۱-۱-۲-۳-۶ بهبود دقت تعیین موقعیت تا زیر پیکسل.....
۲۳۸	۳-۱-۱-۲-۳-۶ تخصیص جهت.....
۲۴۰	۲-۱-۲-۳-۶ مرحله‌ی دوم. ایجاد بردار ویژگی عوارض.....
۲۴۱	۳-۱-۲-۳-۶ مرحله‌ی سوم. تناظریابی میان عوارض.....
۲۴۱	۱-۳-۱-۲-۳-۶ تطابق ظاهری ویژگی‌های نقاط.....
۲۴۲	۲-۳-۱-۲-۳-۶ تطابق هندسی نقاط متناظر.....
۲۴۴	۴-۶ روش تناظریابی شیءمبنای پیشنهادی.....
۲۴۴	۱-۴-۶ تشخیص و استخراج نقاط.....
۲۴۶	۲-۴-۶ تخصیص بردار ویژگی به روش SIFT.....
۲۴۷	۳-۴-۶ تعیین نقاط متناظر با روش ضریب‌همبستگی.....
۲۴۷	۵-۶ داده‌ها و پیش‌پردازش‌های لازم.....
۲۴۷	۱-۵-۶ داده‌ها.....
۲۴۸	۲-۵-۶ پیش‌پردازش‌های لازم.....
۲۴۹	۶-۶ پیاده‌سازی و ارزیابی نتایج.....
۲۵۰	۱-۶-۶ نتایج تناظریابی روش SIFT.....
۲۵۱	۲-۶-۶ نتایج تناظریابی روش ضریب‌همبستگی بهبود یافته.....
۲۵۲	۳-۶-۶ مقایسه‌ی روش‌های SIFT و ضریب‌همبستگی بهبود یافته.....
۲۵۵	۴-۶-۶ روند بهبود روش SIFT و نتایج حاصل.....
۲۵۶	۵-۶-۶ مقایسه‌ی روش پیشنهادی با روش‌های SIFT و ضریب‌همبستگی.....
۲۵۹	۶-۶-۶ مقایسه‌ی روش پیشنهادی با روش ضریب‌همبستگی.....
۲۶۰	۷-۶-۶ نتایج تناظریابی روش پیشنهادی روی تصاویر باینری ساختمان.....
۲۶۳	۷-۶ نتیجه‌گیری.....

۲۶۵	منابع و مأخذ
۲۷۵	فهرست مخفف‌ها
۲۷۹	واژه‌نامه‌ی تخصصی انگلیسی به فارسی
۲۸۷	واژه‌نامه‌ی تخصصی فارسی به انگلیسی
۲۹۷	پیوست (الف)

فهرست شکل‌ها

..... شکل ۱-۱. ساز و کار سیستم سنجش از دور	۳
..... شکل ۲-۱. (الف) تصویر اصلی. (ب) بهبود روشنایی	۶
..... شکل ۳-۱. (الف) تصویر بهبود یافته . (ب) قطعه‌بندی تصویر	۷
..... شکل ۴-۱. سطوح سه‌گانه‌ی پردازش تصاویر سنجش از دور	۸
..... شکل ۵-۱. رابطه‌ی بین یک ناحیه‌ی مورد پردازش با قدرت تفکیک	۹
..... شکل ۱-۲. نمایش تصویر یک بندرگاه در سطوح بزرگنمایی مختلف	۱۸
..... شکل ۲-۲. چهار تصویر مختلف با توزیع درجه خاکستری و بافت متفاوت	۲۴
..... شکل ۳-۲. مثال‌هایی از تصاویر و هیستوگرام‌های مربوطه	۲۵
..... شکل ۴-۲. چهار جهت استفاده شده برای ساختن ماتریس همرخداد	۲۷
..... شکل ۵-۲. سه نمونه از تفکیک‌پذیری بین دو کلاس	۳۵
..... شکل ۶-۲. تعیین حد آستانه برای یک ویژگی با استفاده از روش SEaTH	۳۷
..... شکل ۷-۲. انواع روش‌های قطعه‌بندی تصویری	۳۹
..... شکل ۸-۲. فرآیند قطعه‌بندی رشد ناحیه	۴۱
..... شکل ۹-۲. فرآیند قطعه‌بندی تفکیک ناحیه	۴۲
..... شکل ۱۰-۲. فرآیند قطعه‌بندی ادغام نواحی	۴۳
..... شکل ۱۱-۲. خطاهای موجود در قطعه‌بندی	۴۵
..... شکل ۱۲-۲. بررسی بروز خطاهای ممکن در نتایج استخراج مرز	۴۶
..... شکل ۱-۳. سلسله‌مراتبی از اشیای تصویری (در eCognition Developer)	۵۵
..... شکل ۲-۳. دامنه‌های مختلف شیء تصویری یک دنباله فرآیند سلسله‌مراتبی	۵۶
..... شکل ۳-۳. سلسله‌مراتب سازمانی نرم‌افزار eCognition	۵۸

..... شکل ۴-۳. تصویر منطقه‌ی شهری متعلق به نمونه‌ی کاربردی	۶۰
..... شکل ۵-۳. نرم‌افزار eCognition Developer 8.0 در ویندوز	۶۱
..... شکل ۶-۳. صفحه‌ی راهاندازی نرم‌افزار eCognition Developer 8.0	۶۱
..... شکل ۷-۳. ایجاد یک پروژه‌ی جدید در نرم‌افزار eCognition Developer	۶۲
..... شکل ۸-۳. انتخاب تصاویر ۴ باندی و NDVI برای ایجاد یک پروژه‌ی جدید	۶۲
..... شکل ۹-۳. پنجره‌ی تنظیم ایجاد پروژه	۶۳
..... شکل ۱۰-۳. ترکیب رنگی استفاده شده در نرم‌افزار eCognition	۶۴
..... شکل ۱۱-۳. نمایش وضعیت Develop Ruleset در نرم‌افزار eCognition	۶۵
..... شکل ۱۲-۳. ایجاد یک والد جدید در درخت فرآیند (Process Tree)	۶۶
..... شکل ۱۳-۳. انتخاب قطعه‌بندی قدرت‌تفکیک چندگانه	۶۷
..... شکل ۱۴-۳. اجرای قطعه‌بندی درشت مقیاس برای جداسازی مناطق زمین و آب	۶۹
..... شکل ۱۵-۳. تصویر قطعه‌بندی شده تصویر اصلی	۷۰
..... شکل ۱۶-۳. تعریف کلاس‌ها در پانل 'Class Hierarchy'	۷۰
..... شکل ۱۷-۳. انتخاب فضای ویژگی طبقه‌بندی نزدیکترین همسایگی	۷۱
..... شکل ۱۸-۳. انتخاب مجموعه ویژگی‌های مناسب طیفی و غیرطیفی	۷۲
..... شکل ۱۹-۳. اعمال ویژگی‌های انتخاب شده برای هر دو کلاس آب و زمین	۷۳
..... شکل ۲۰-۳. ایجاد یک فرزند جدید در پانل 'Process Tree'	۷۴
..... شکل ۲۱-۳. فعال کردن کلاس‌های زمین و آب برای طبقه‌بندی	۷۴
..... شکل ۲۲-۳. جعبه‌بازار انتخاب و ویرایش نمونه‌ها در eCognition	۷۵
..... شکل ۲۳-۳. نمونه‌های آموزشی انتخاب شده برای کلاس‌های آب و زمین	۷۶
..... شکل ۲۴-۳. طبقه‌بندی مقدماتی اولیه و تولید یک نقشه‌ی اولیه‌ی آب/زمین	۷۷
..... شکل ۲۵-۳. ذخیره کردن یک پروژه‌ی Definiens با پسوند *.dpr	۷۷
..... شکل ۲۶-۳. انجام قطعه‌بندی ریز مقیاس (fine segmentation)	۷۸
..... شکل ۲۷-۳. اجرای قطعه‌بندی ریز مقیاس	۷۹
..... شکل ۲۸-۳. ایجاد کلاس‌های انواع درختان	۸۰
..... شکل ۲۹-۳. سطح دوم طبقه‌بندی	۸۱
..... شکل ۳۰-۳. فضای ویژگی انتخاب شده	۸۲

شکل ۳۱-۳. نمونه‌های آموزشی انتخاب شده برای کلاس‌های سطح دوم ۸۳
شکل ۳۲-۳. تنظیمات مربوط به طبقه‌بندی سطح دوم ۸۳
شکل ۳۳-۳. تصویر طبقه‌بندی شده‌ی سطح دوم ۸۴
شکل ۳۴-۳. تقسیم صفحه‌ی نمایش نرم‌افزار به دو بخش قائم ۸۵
شکل ۳۵-۳. ایجاد یک فرآیند والد 'Process Tree' در پانل 'clean-up' ۸۶
شکل ۳۶-۳. انتخاب فرآیند فرزند 'manual classification' برای والد ۸۶
شکل ۳۷-۳. تنظیمات مربوط به 'bare med' 'manual classification' برای کلاس ۸۷
شکل ۳۸-۳. شمای مازول شیء‌مبنای Feature Extraction نرم‌افزار ENVI ۸۹
شکل ۳۹-۳. طریقه‌ی یافتن و اجرای نرم‌افزار ENVI Zoom در ویندوز ۹۰
شکل ۴۰-۳. نمای کلی نرم‌افزار ENVI Zoom ۹۱
شکل ۴۱-۳. تصویر منطقه‌ی شهری متعلق به نمونه‌ی کاربردی اول ۹۴
شکل ۴۲-۳. ایجاد یک پروژه‌ی Feature Extraction و انتخاب تصویر ۹۵
شکل ۴۳-۳. باز کردن تصویر در ENVI Zoom ۹۵
شکل ۴۴-۳. بخش اول یافتن اشیاء: تنظیم مقیاس قطعه‌بندی در Feature Extraction ۹۶
شکل ۴۵-۳. تصویر قطعه‌بندی شده با مقدار ۳۰ برای مقیاس ۹۷
شکل ۴۶-۳. نتیجه‌ی قطعه‌بندی تصویر با مقدار ۹۴ برای پارامتر سطح ادغام قطعات ۹۸
شکل ۴۷-۳. گام پالایش قطعات. این گام، اختیاری است ۹۹
شکل ۴۸-۳. محاسبه‌ی ویژگی‌های مکانی، طیفی، بافت، فضای رنگ و نسبت باندی ۱۰۰
شکل ۴۹-۳. انتخاب گزینه‌ی 'Choose by Creating Rules' (طبقه‌بندی قانون‌مبنای) ۱۰۱
شکل ۵۰-۳. پنجره‌ی 'Rule-Based Classification' ۱۰۲
شکل ۵۱-۳. انتخاب نام و رنگ مناسب و مطابق با عارضه‌ی مورد نظر ۱۰۳
شکل ۵۲-۳. انتخاب ویژگی نسبت باندی bandratio ۱۰۴
شکل ۵۳-۳. تصویر ویژگی bandratio ۱۰۵
شکل ۵۴-۳. پنجره‌ی تنظیمات ویژگی نسبت باندی ۱۰۶
شکل ۵۵-۳. تصویر اعتمادپذیری قانون حاصل از انتخاب محدوده مقادیر مختلف ۱۰۷
شکل ۵۶-۳. تنظیم مقدار ۰/۲۹ برای بیشینه‌ی ویژگی نسبت باندی ۱۰۸
شکل ۵۷-۳. اضافه کردن یک ویژگی جدید به مجموعه قوانین ۱۰۹

۱۰۹ شکل ۵۸-۳. انتخاب ویژگی شکل مستطیلی (rect_fit) از زیر شاخه‌ی Spatial
۱۱۰ شکل ۵۹-۳. تنظیم مقدار ۰/۵ برای کمینه‌ی ویژگی شکل مستطیلی
۱۱۱ شکل ۶۰-۳. انتخاب ویژگی area مساحت از زیر شاخه‌های ویژگی Spatial
۱۱۲ شکل ۶۱-۳. تنظیم دامنه‌ی ۲۵ تا ۱۳۰۰ برای ویژگی مساحت
۱۱۳ شکل ۶۲-۳. انتخاب ویژگی aveband_2 متوسط باند سبز
۱۱۴ شکل ۶۳-۳. تنظیم مقدار ۵ برای بیشینه‌ی ویژگی متوسط باند سبز
۱۱۴ شکل ۶۴-۳. مجموعه قوانین ساخته شده
۱۱۵ شکل ۶۵-۳. پیش‌نمایش نتایج طبقه‌بندی قانون‌مبنای همراه با سایر عوارض
۱۱۶ شکل ۶۶-۳. گام ذخیره‌سازی نتایج نهایی طبقه‌بندی
۱۱۷ شکل ۶۷-۳. گزارش فرآیندهای انجام شده و آماره‌های مساحت عارضه
۱۱۸ شکل ۶۸-۳. Shapefile سقف‌های استخراج شده
۱۱۹ شکل ۶۹-۳. تصویر منطقه‌ی شهری متعلق به نمونه‌ی کاربردی دوم
۱۲۱ شکل ۷۰-۳. انتخاب مقدار ۳۰ برای مقیاس قطعه‌بندی
۱۲۲ شکل ۷۱-۳. انتخاب مقدار ۹۰ برای گام ادغام قطعه‌بندی
۱۲۳ شکل ۷۲-۳. انتخاب گزینه‌ی 'Choose by Selecting Examples'
۱۲۴ شکل ۷۳-۳. بازیابی داده‌های آموزشی از قبل تهیه شده
۱۲۴ شکل ۷۴-۳. کلاس‌های انتخاب شده از قبل برای طبقه‌بندی
۱۲۵ شکل ۷۵-۳. قرار دادن لایه‌ی تصویر اصلی بالای تصویر قطعه‌بندی شده
۱۲۶ شکل ۷۶-۳. تایپ مقدار 710,284 جهت مشاهده‌ی نتیجه‌ی طبقه‌بندی
۱۲۶ شکل ۷۷-۳. هیچ نمونه‌ی آموزشی برای این جاده‌ها انتخاب نشده است
۱۲۷ شکل ۷۸-۳. خطای اضافه‌شدگی سطوح غیرقابل نفوذ
۱۲۷ شکل ۷۹-۳. تایپ مقدار 1175,700 جهت مشاهده‌ی نتیجه‌ی طبقه‌بندی
۱۲۸ شکل ۸۰-۳. داده‌ی آموزشی از قبل انتخاب شده برای عارضه‌ی سنگفرش‌ها
۱۲۸ شکل ۸۱-۳. یک قطعه‌ی غیر قابل نفوذ که به اشتباه طبقه‌بندی شده
۱۲۹ شکل ۸۲-۳. اضافه کردن یک عارضه‌ی جدید
۱۳۰ شکل ۸۳-۳. انتخاب نمونه‌های آموزشی برای عارضه‌ی جاده‌های خاکی
۱۳۱ شکل ۸۴-۳. سربرگ 'Attributes' در پنجره‌ی 'Extract Features'

شکل ۸۵-۳. سه طبقه‌بندی کننده‌ی نظارت شده ۱۳۲
شکل ۸۶-۳. نحوه‌ی ذخیره‌سازی و یا بازیابی داده‌های آموزشی ۱۳۳
شکل ۸۷-۳. لایه‌ی Shapefile سطوح غیرقابل نفوذ استخراج شده ۱۳۴
شکل ۸۸-۳. پنجره‌ی تنظیمات مربوط به فایل برداری سطوح غیر قابل نفوذ ۱۳۴
 شکل ۱-۴. مراحل روش‌های پردازش تصویری سنجش از دور ۱۳۷
شکل ۲-۴. تصویر 5 SPOT (قدرت تفکیک مکانی ۲/۵ متر) ۱۴۰
شکل ۳-۴. داده‌های استفاده شده در مطالعه‌ی کاربردی ۱ ۱۴۱
شکل ۴-۴. منحنی‌های متوسط پاسخ طیفی هر ۵ کلاس مطالعه‌ی اول ۱۴۲
شکل ۵-۴. روش طبقه‌بندی درخت تصمیم مبتنی بر طیف به صورت نموداری ۱۴۳
شکل ۶-۴. روش طبقه‌بندی درخت تصمیم با ترکیب ویژگی بافت و داده‌ی DEM ۱۴۵
شکل ۷-۴. روش طبقه‌بندی شیء‌مبنا در دو سطح به صورت نموداری ۱۴۶
شکل ۸-۴. تصاویر طبقه‌بندی شده حاصل از روش‌های این بخش ۱۵۰
شکل ۹-۴. روش طبقه‌بندی پیکسل‌مبنا برای بازبینی داده‌ی GIS ۱۵۳
شکل ۱۰-۴. تفاوت بین روش طبقه‌بندی پیکسل‌مبنا و شیء‌مبنا ۱۵۴
شکل ۱۱-۴. داده‌ی ورودی برای طبقه‌بندی پیکسل‌مبنا طبقه‌بندی شیء‌مبنا ۱۵۶
شکل ۱۲-۴. نمودارهای پراکندگی باند مادون قرمز نزدیک بر حسب باند قرمز ۱۵۷
شکل ۱۳-۴. اعمال عملگر بافت 5×5 پیکسل روی تصویر ۱۵۹
شکل ۱۴-۴. واریانس متوسط اشیای GIS‌ی در باند آبی ۱۶۰
شکل ۱۵-۴. واریانس شیء در باندهای طیفی مختلف ۱۶۰
شکل ۱۶-۴. شاخص پوشش گیاهی برای ۱۶۱
شکل ۱۷-۴. درصد پیکسل‌های به درستی طبقه‌بندی شده ۱۶۴
شکل ۱۸-۴. نمایش فضای ویژگی طبقه‌بندی شیء‌مبنا ۱۶۵
شکل ۱۹-۴. (الف) داده‌ی GIS. (ب) نتیجه‌ی طبقه‌بندی ۱۶۶
 شکل ۱-۵. فرآیند استخراج ساختمان از یک تصویر بر اساس ۱۷۱
شکل ۲-۵. روش استخراج مرز ساختمان ۱۷۳

شکل ۳-۵. نتیجه‌ی قطعه‌بندی مبتنی بر لبه ۱۷۴
شکل ۴-۵. تصویر طبقه‌بندی شده و تصویر باینری ساختمانها ۱۷۷
شکل ۵-۵. روش استخراج مرز ساختمان با استفاده از طبقه‌بندی شیء‌مبنا فازی ۱۷۹
شکل ۶-۵. مفهوم پارامترهای مقیاس و همگونی (رنگ و شکل) ۱۸۰
شکل ۷-۵. قطعه‌بندی قدرت‌تفکیک چندگانه ۱۸۱
شکل ۸-۵. تصویر طبقه‌بندی شده، تصویر باینری ساختمانها و تصویر مرزها ۱۸۲
شکل ۹-۵. روش پیشنهادی استخراج مرز ساختمان ۱۸۴
شکل ۱۰-۵. باند قرمز تصویر و تصویر باینری حاصل از آستانه‌گذاری Otsu ۱۸۵
شکل ۱۱-۵. حذف نواحی غیرساختمانی کوچک ۱۸۷
شکل ۱۲-۵. تولید تصویر لبه با استفاده از عملگر لبه‌باب Canny ۱۸۸
شکل ۱۳-۵. تعریف قاعده برای ویژگی گردشگی ۱۹۰
شکل ۱۴-۵. نمونه‌ای از انواع شکل ساختمانها ۱۹۲
شکل ۱۵-۵. نمونه‌ای از رنگ‌های مختلف در بام ساختمانها ۱۹۳
شکل ۱۶-۵. مواردی از پاسخ طیفی مشابه برخی عوارض غیرساختمانی ۱۹۴
شکل ۱۷-۵. تنوع ساختمانها از لحاظ چیدمان و فاصله ۱۹۵
شکل ۱۸-۵. روند کترل کیفیت و ارزیابی دقت پیکسلی ۱۹۷
شکل ۱۹-۵. نمودار مقادیر درصد شناسایی مرز ساختمان (DR) ۲۰۲
شکل ۲۰-۵. نمودار مقادیر درصد اعتمادپذیری (R) ۲۰۶
شکل ۲۱-۵. نمودار مقادیر خطای اضافه‌شدگی (FPR) ۲۰۸
شکل ۲۲-۵. نمودار مقادیر دقت کلی (OA) ۲۰۹
شکل ۱-۶. تفاوت زاویه‌ی دید سنجنده ۲۲۰
شکل ۲-۶. فاصله‌ی کم بین ساختمانها و تغییرات ارتفاعی در مناطق شهری ۲۲۱
شکل ۳-۶. انواع روش‌های تناظریابی تصاویر در سنجش از دور و فتوگرامتری ۲۲۲
شکل ۴-۶. ایجاد هرم تصویری در مقیاس‌های مختلف ۲۲۳
شکل ۵-۶. ایجاد فضای اختلاف تفاضلی گوسی (DoG) ۲۲۵
شکل ۶-۶. پیدا کردن نقاط اکسترم در فضای مقیاسی ۲۲۶

شکل ۶-۷. تخصیص جهت در روش SIFT ۲۴۰
شکل ۶-۸. روش تناظریابی شیء مبنای پیشنهادی ۲۴۵
شکل ۶-۹. مقایسه عملگرها در استخراج گوشه‌های ساختمان ۲۴۶
شکل ۶-۱۰. تصاویر پانکروماتیک مناطق ۹ گانه ۲۴۸
شکل ۶-۱۱. محل قرار گرفتن نقاط استخراج شده ساختمانی ۲۵۵
شکل ۶-۱۲. مقایسه روش‌های تناظریابی پیشنهادی، ضریب همبستگی و SIFT ۲۵۸
شکل ۶-۱۳. تصاویر باینری استخراج ساختمان ۲۶۱
شکل ۶-۱۴. استخراج نقاط لبه و گوشه ۲۶۲
شکل ۶-۱۵. مقایسه روش پیشنهادی با روش ضریب همبستگی ۲۶۳
پیوست (الف). مجموعه تصاویر مورد آزمایش در فصل ۵ ۳۰۰

فهرست جداول

جدول ۱-۱. مشخصات برخی ماهواره‌های قدرت‌تفکیک بالا	۴
جدول ۱-۴. پارامترهای قطعه‌بندی قدرت‌تفکیک چندگانه	۱۴۷
جدول ۲-۴. نتایج ارزیابی دقت‌های حاصل از روش‌های طبقه‌بندی	۱۴۸
جدول ۱-۵. ماتریس خطأ (ابهام)	۱۹۷
جدول ۲-۵. مقادیر درصد استخراج مرز ساختمان (DR)	۲۰۱
جدول ۳-۵. مقادیر درصد اعتمادپذیری (R)	۲۰۴
جدول ۴-۵. مقادیر خطای اضافه‌شدگی (FPR)	۲۰۷
جدول ۵-۵. مقادیر دقت‌کلی (OA)	۲۱۰
جدول ۶-۱. معیارهای تعیین شباهت میان دو پنجره‌ی تصویری	۲۲۶
جدول ۶-۲. نتایج تناظریابی روش SIFT	۲۵۰
جدول ۶-۳. نتایج تناظریابی روش تناظریابی ضریب همبستگی بهبودیافته	۲۵۳
جدول ۶-۴. مقایسه‌ی نتایج پیاده‌سازی دو روش SIFT و ضریب همبستگی	۲۵۴
جدول ۶-۵. مقایسه‌ی تعداد کل نقاط متناظر در روش‌های SIFT و SIFT بهبود یافته	۲۵۶
جدول ۶-۶. مقایسه‌ی تناظرهای درست	۲۵۷
جدول ۶-۷. مقایسه‌ی روش ضریب همبستگی و روش شیء‌بنای پیشنهادی	۲۵۹
جدول ۶-۸. مقایسه‌ی تناظرهای صحیح مربوط به ساختمان	۲۶۲

فصل ۱

مقدمه

در این فصل از کتاب ...

- مقدمه‌ای در مورد سنجش از دور و سطوح پردازش تصویری بیان می‌شود؛
- روش‌های پردازش مبتنی بر پیکسل و مبتنی بر شیء توضیح داده می‌شود؛
- برتری‌های روش‌های شیء‌مبنا نسبت به روش‌های پیکسل‌مبنا ذکر می‌گردد.

۱-۱ سنجش از دور و تصاویر قدرت‌تفکیک بالا

سنجش از دور^۱، علم اخذ اطلاعات در مورد اشیاء، اجسام یا پدیده‌های سطح زمین است بدون اینکه با آن‌ها تماس فیزیکی داشته باشد. این کار به‌وسیله‌ی دریافت، ثبت انرژی بازتابی یا گسیل شده (توسط یک سنجنده‌ی هوایی یا فضایی)، پردازش، تجزیه و تحلیل و به‌کارگیری اطلاعات انجام می‌شود [۱]. برخی سنجنده‌های سنجش از دور به طول موج‌های مرئی^۲ و مادون قرمز نزدیک^۳ طیف الکترومغناطیس^۴ (EM) حساس هستند. همانطور که شکل ۱-۱ نیز نشان می‌دهد این سنجنده‌ها، انرژی بازتابی از اشیای مختلف سطح زمین را به اعداد رقومی^۵ (DNs) (یا درجات خاکستری) تبدیل می‌کند که این اعداد، یک تصویر رقومی را تشکیل می‌دهد [۲].

یکی از مشخصات سنجنده‌های سنجش از دور، قدرت‌تفکیک مکانی است. سنجنده‌ها دارای قدرت‌تفکیک مکانی متفاوتی هستند که هر کدام در کاربردهای مختلفی مورد استفاده قرار می‌گیرند. در سال‌های اخیر، تصاویر حاصل از سنجنده‌های قدرت‌تفکیک بالا، یکی از محصولات پرکاربرد و جدید سنجش از دور محسوب شده است. قدرت‌تفکیک مکانی این سنجنده‌ها اغلب بین ۰/۴ تا ۶ متر است [۳]. ماهواره‌ی IKONOS، به عنوان اولین ماهواره‌ی تجاری قدرت‌تفکیک بالا در سال ۱۹۹۹ شناخته می‌شود. بعد از آن ماهواره‌های تجاری QuickBird در سال ۲۰۰۱ و GeoEye-1 در سال ۲۰۰۸ پدیدار شدند [۴]. در بین ماهواره‌های قدرت‌تفکیک بالا، ماهواره‌ی SPOT ۵ دارای وسیع‌ترین پهنه‌ی باند است [۵]. خلاصه‌ای از مشخصات این چهار ماهواره در جدول ۱-۱ آورده شده است. تصاویر حاصل از این ماهواره‌ها چه تصاویر تک‌منظري^۶ و چه تصاویر استريو^۷ دارای کاربردهای فراوانی در حوزه‌ی سنجش از دور و فتوگرامتری هستند. از جمله‌ی این کاربردها می‌توان به تهیه‌ی

^۱ Remote Sensing

^۲ Visible

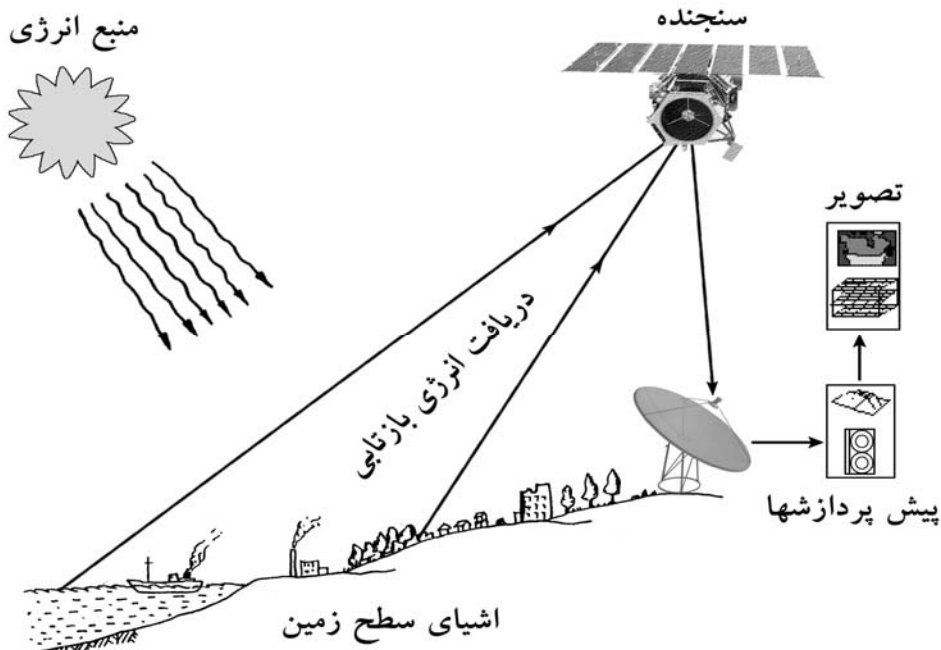
^۳ Near Infrared

^۴ Electromagnetic Spectrum

^۵ Digital Numbers

^۶ Monocular

^۷ Stereo



شکل ۱-۱. ساز و کار سیستم سنجش از دور برای جمع‌آوری اطلاعات از اشیای سطح زمین.

مدل‌های رقومی از زمین، تولید موزائیک تصویری، مدیریت بهینه در معادن، منابع طبیعی، کشاورزی و جنگلداری، کشف تغییرات و ارزیابی آن‌ها اشاره کرد. همچنین به کمک این تصاویر، امکان طبقه‌بندی جزئیات کاربری زمین در مناطق شهری و تولید نقشه‌های بزرگ مقیاس نیز فراهم شده است [۳].

۱-۲ سطوح پردازش تصویر در سنجش از دور

یکی از مراحل مهم در سنجش از دور، پردازش تصاویر^۱ و داده‌ها است. پردازش تصاویر سنجش از دور شامل استخراج اطلاعات از پیکسل‌ها و محتوای درون تصویر است [۲]. تاکنون روش‌های پردازش تصویر زیادی توسعه یافته است تا در حد امکان به تفسیر و همچنین به استخراج اطلاعات از تصاویر سنجش از دور کمک کند. انتخاب یک روش پردازشی به اهداف پژوهه‌ی مورد نظر بستگی دارد. با یک نگاه کلی به روش‌های پردازش

^۱ Image Analysis